

図1 2025年11月22日 (209) Dido

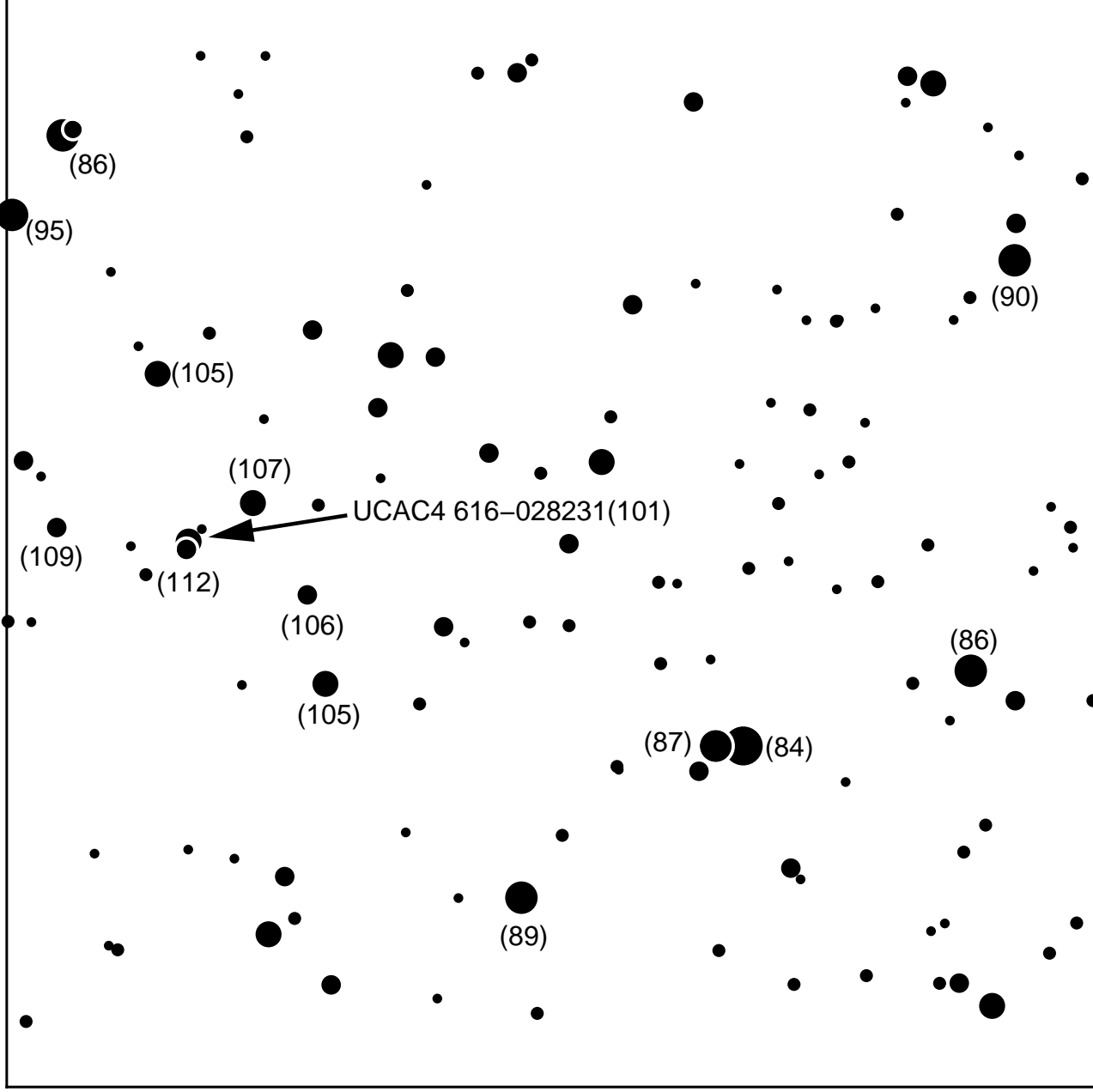


图2 (209) Dido对象星

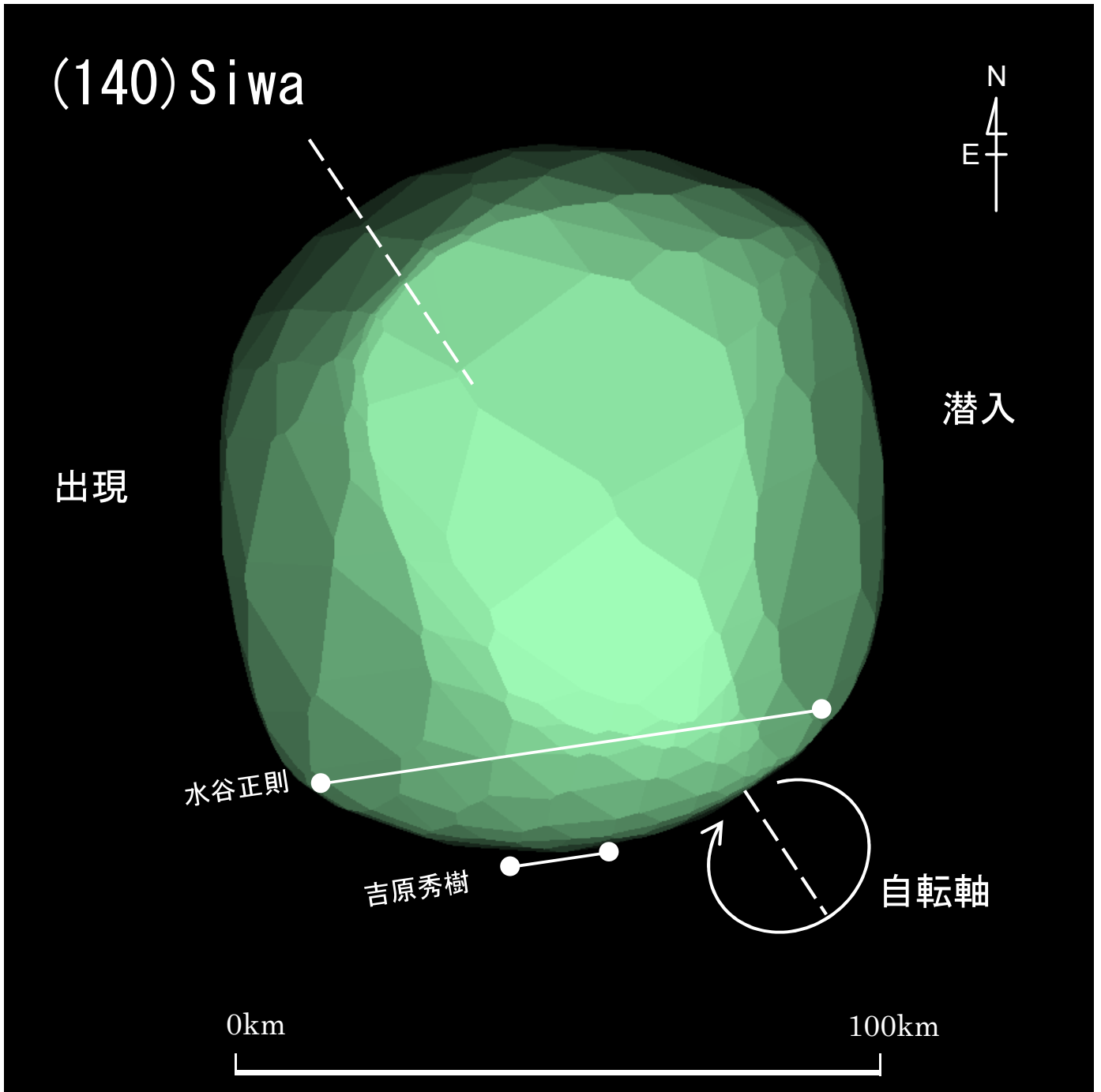


図3 (140) Siwa 2025年1月15日 16h52m01s UT DAMIT Model 5987 ($\lambda = 88$, $\beta = -27$)※1
 $P = 214^\circ$, $\beta_e = -59^\circ$, $\lambda_e = 64^\circ$, Scale Factor 1: 81.3, $k = 0.999$, $B = 275.7^\circ$

(140) Siwa

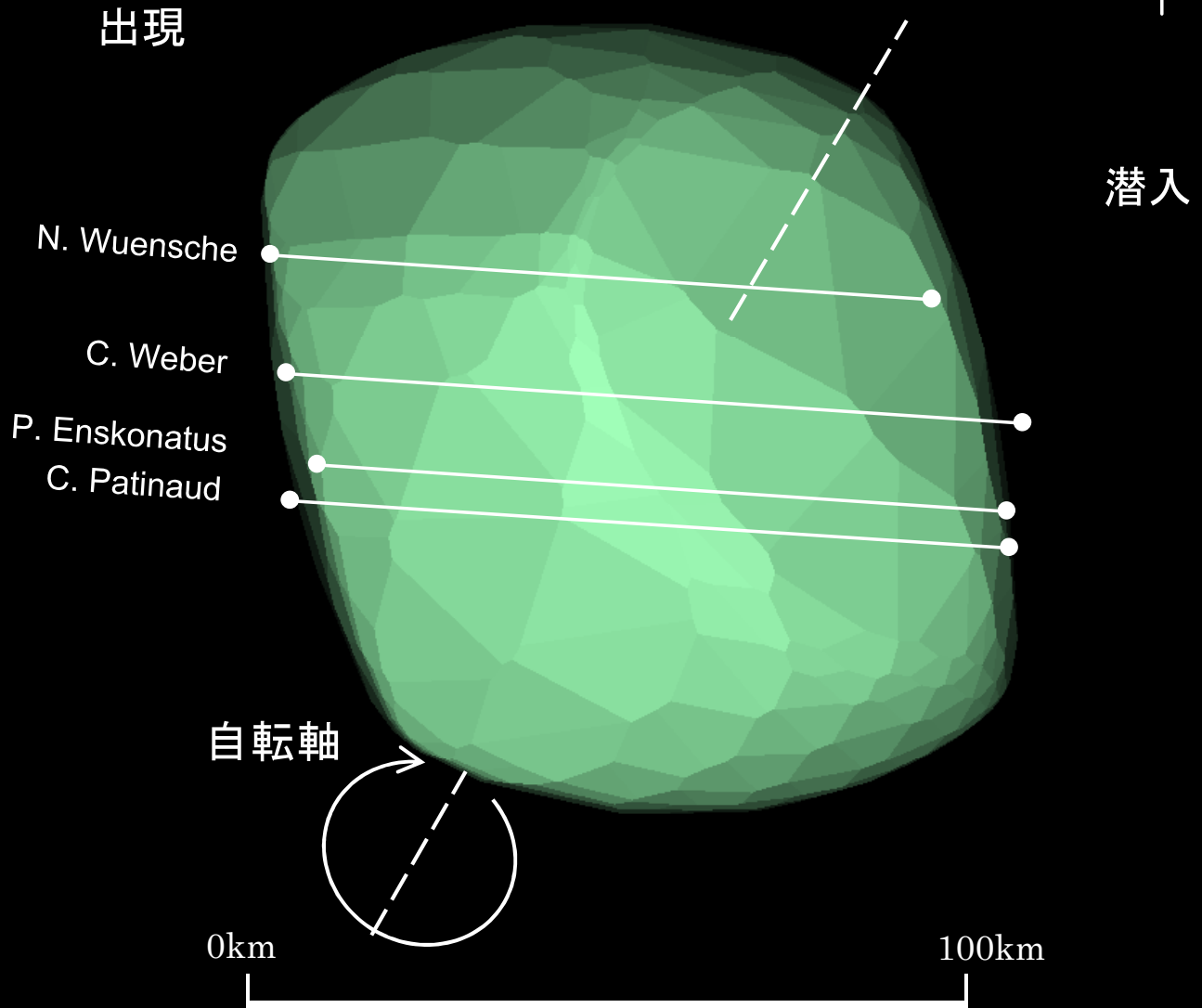


図4 (140) Siwa 2019年11月18日 21h50m50s UT DAMIT Model 5987 ($\lambda = 88$ 、 $\beta = -27$)※1
 $P = 150^\circ$ 、 $\beta_e = -63^\circ$ 、 $\lambda_e = -11^\circ$ 、Scale Factor 1: 81.1、 $k = 0.997$ 、 $B = 92.0^\circ$

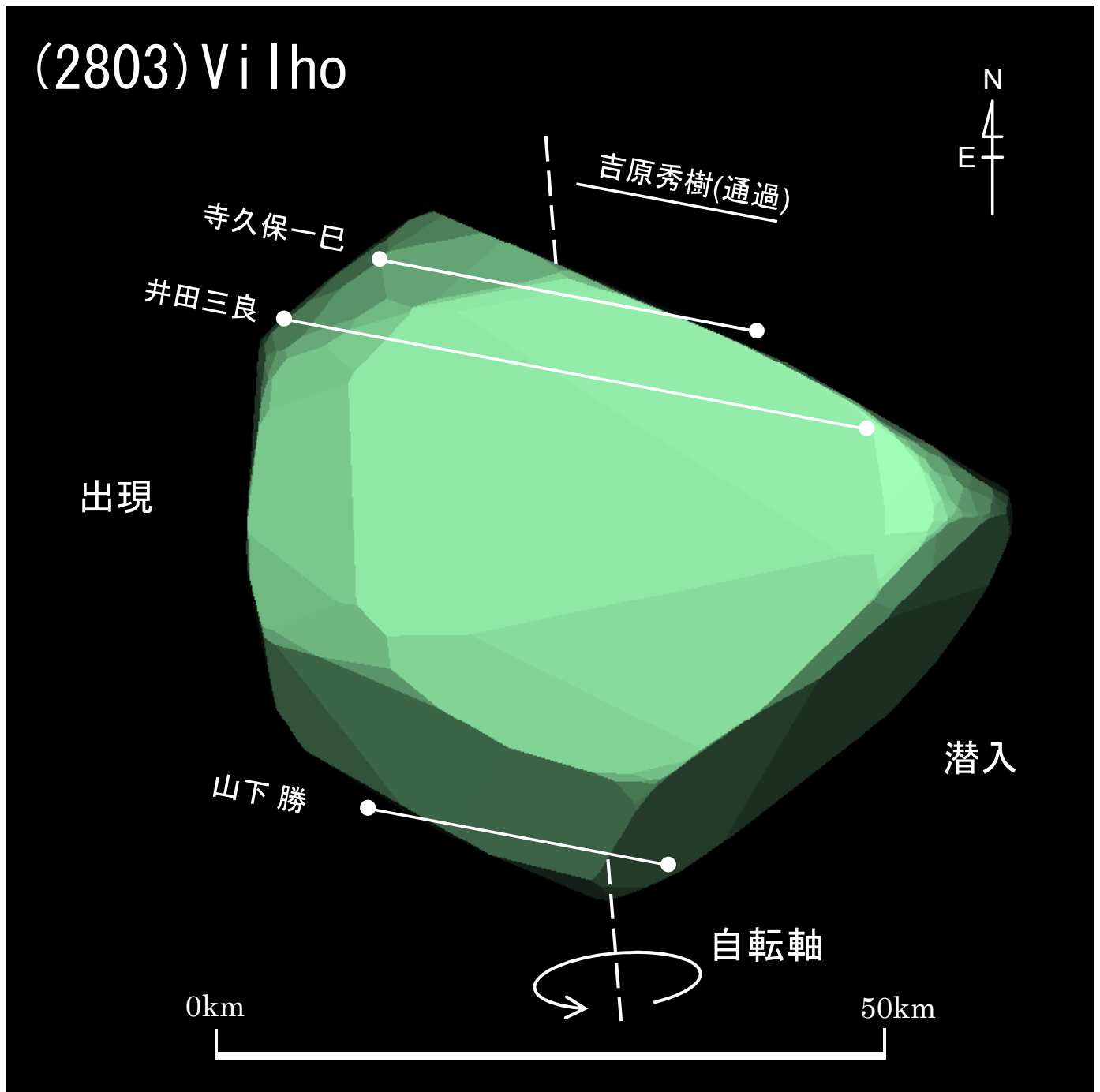


図5 (2803) Vilho 2024年12月28日 12h18m00s UT DAMIT Model 3876 ($\lambda = 285$ 、 $\beta = -67$)※1
 $P = 185^\circ$ 、 $\beta_e = +19^\circ$ 、 $\lambda_e = -81^\circ$ 、Scale Factor 1: 17.9、 $k = 0.989$ 、 $B = 262.1^\circ$

(3694) Sharon

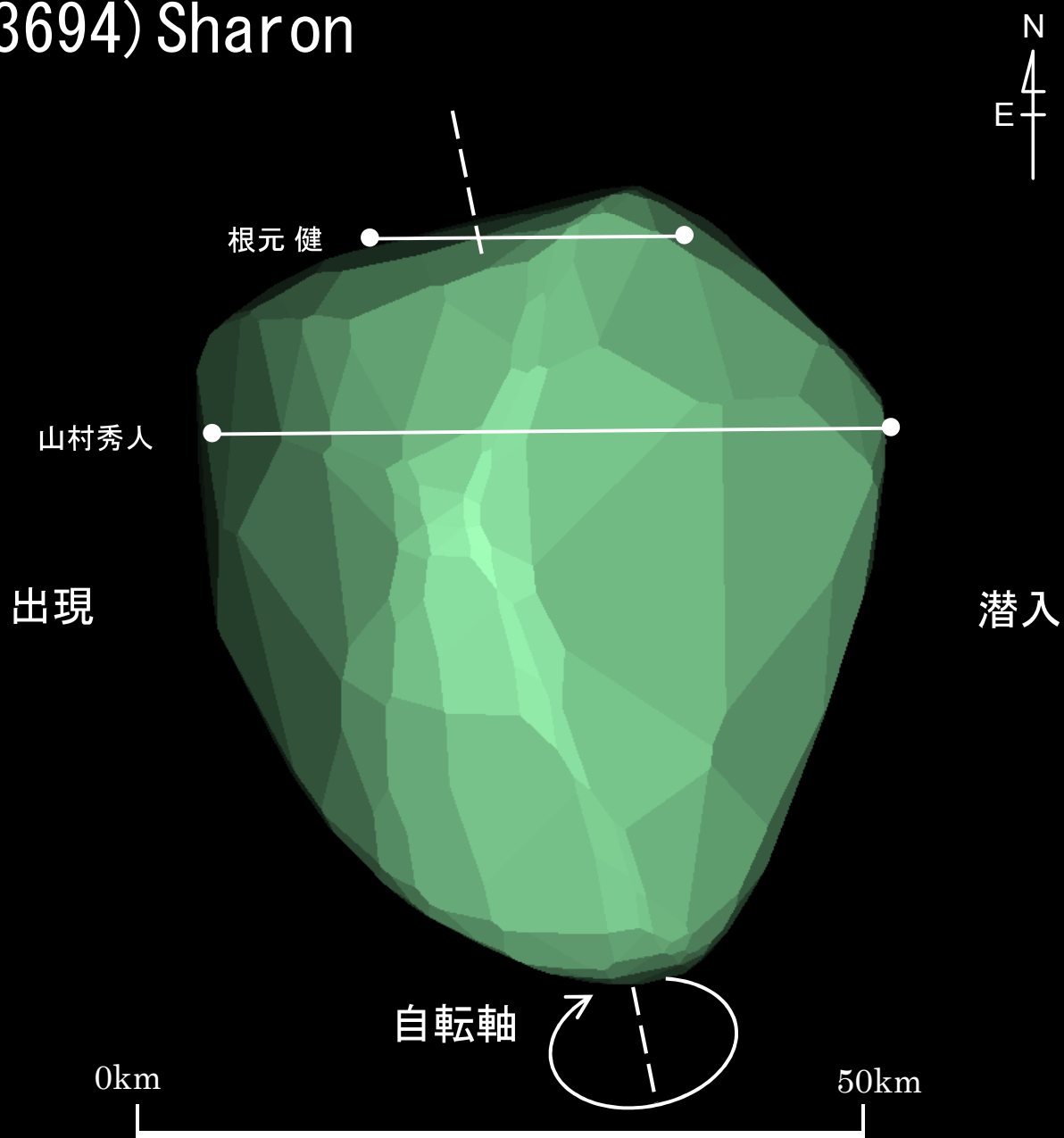
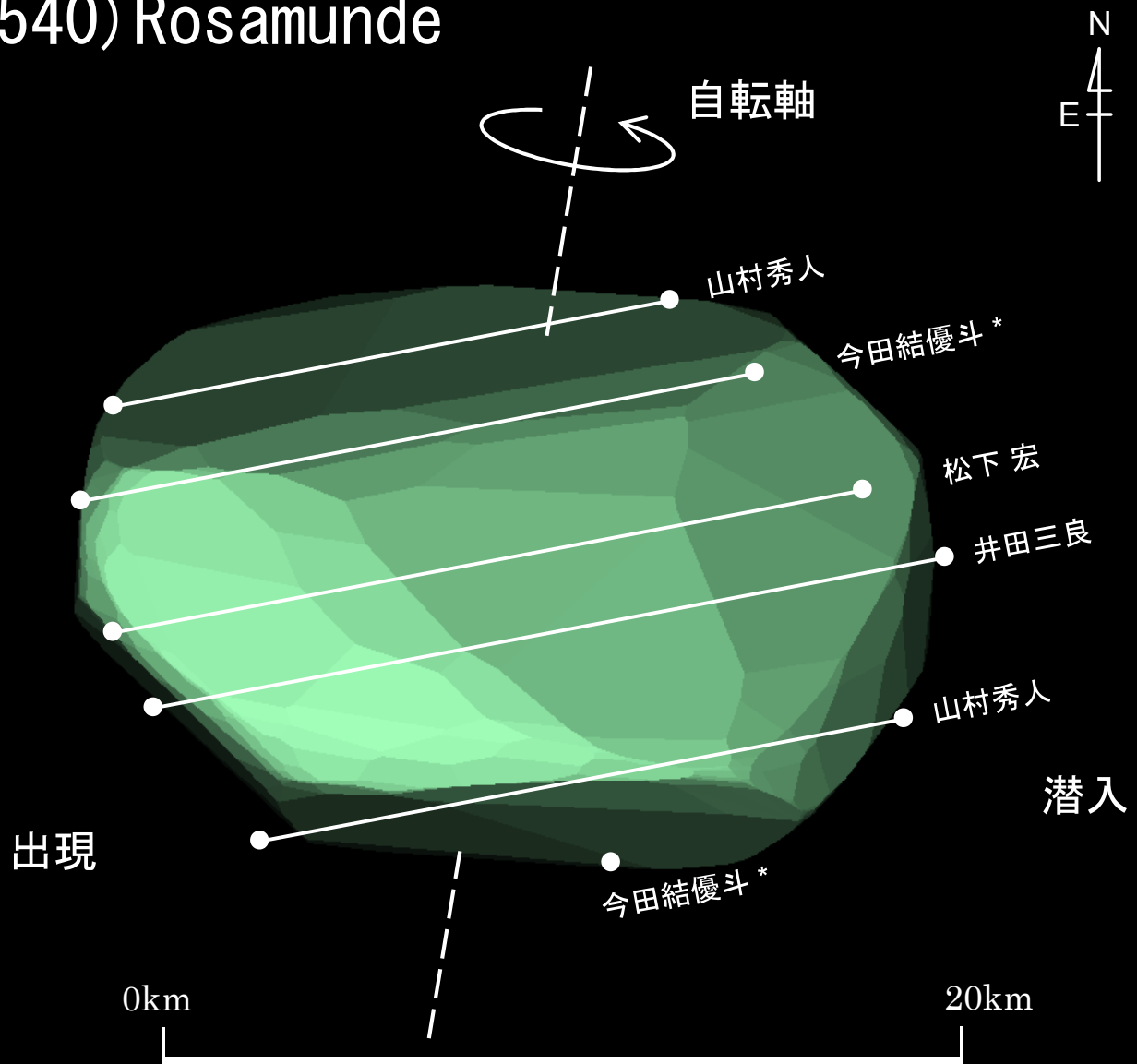


図6 (3694) Sharon 2024年12月27日 11h27m48s UT DAMIT Model 3420 ($\lambda = 93$ 、 $\beta = -45$) $\times 1$
 $P = 192^\circ$ 、 $\beta_e = -41^\circ$ 、 $\lambda_e = -79^\circ$ 、Scale Factor 1: 43.3、 $k = 1.00$ 、 $B = 55.1^\circ$

(540) Rosamunde



* ほかに石神和幸・鈴木陽菜・角田紗希・荒川陽向・井上莉玖・田中杜樹・高村裕三朗

図7 (540) Rosamunde 2025年1月18日 10h19m10s UT DAMIT Model 741 ($\lambda = 127$ 、 $\beta = +62$)※1
P= 351°、 $\beta_e = +16$ °、 $\lambda_e = -142$ °、Scale Factor 1: 16.5、 $k = 0.981$ 、 $B = 254.9$ °

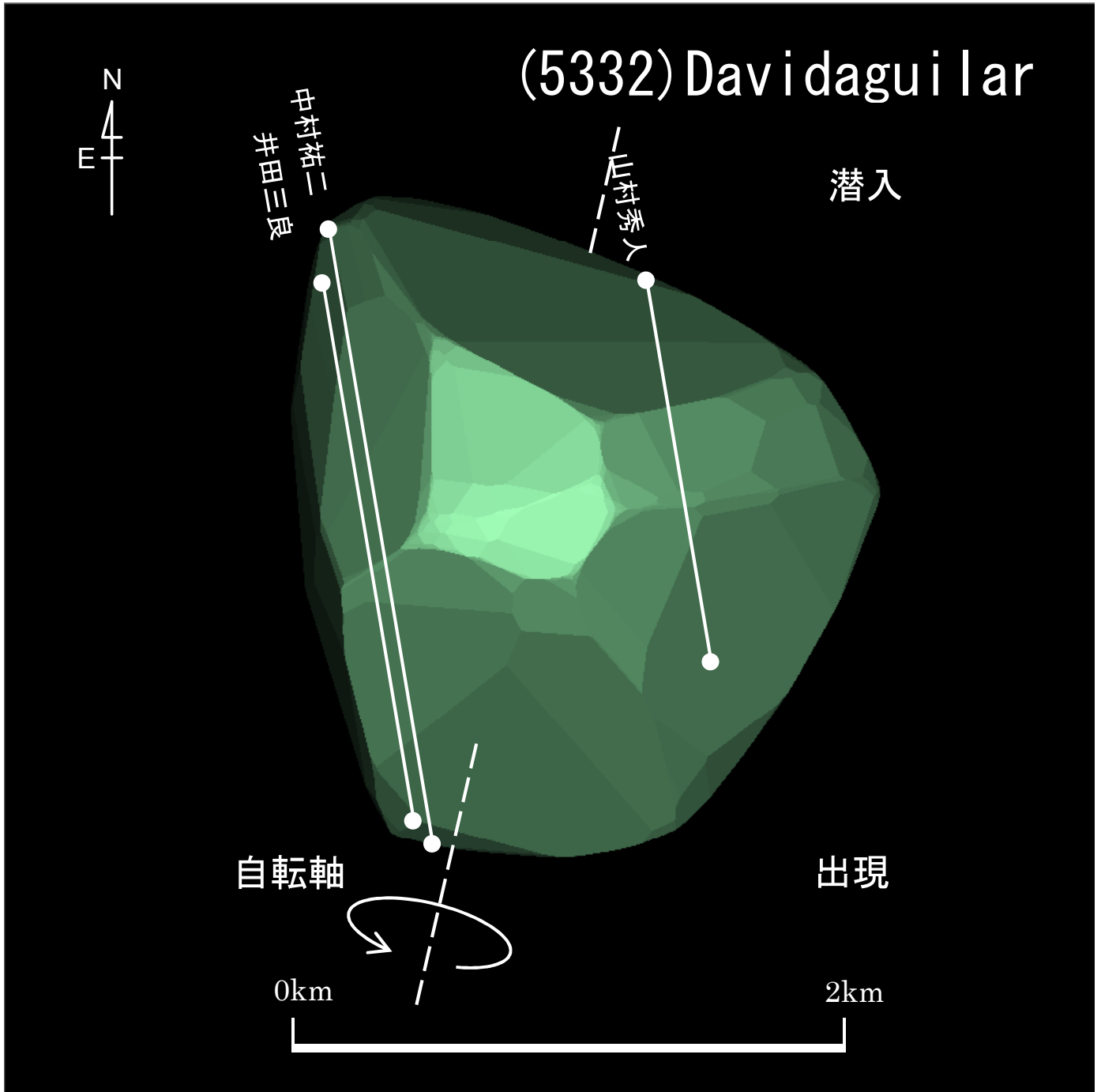


図8 (5332) Davidaguilar 2025年1月21日 16h49m19s UT DAMIT Model 857 ($\lambda = 266$ 、 $\beta = -21$)※1
 $P = 166^\circ$ 、 $\beta_e = +20^\circ$ 、 $\lambda_e = +161^\circ$ 、Scale Factor 1:1.79、 $k = 0.901$ 、 $B = 206.6^\circ$

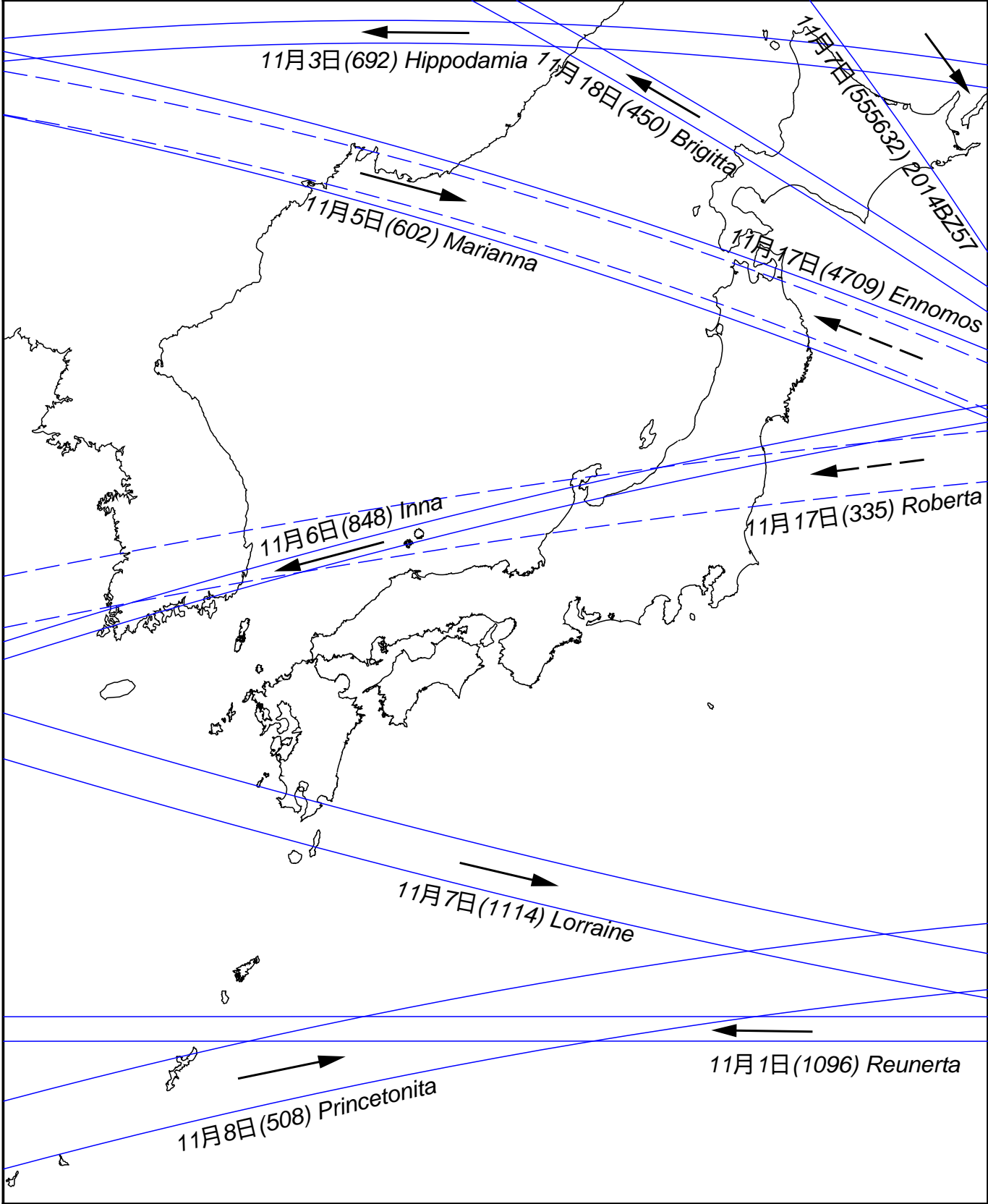


図9 小惑星による主な掩蔽帯経路 (S.Preston予報ほか) 2025年11月前半
 矢印は影の移動方向を示す

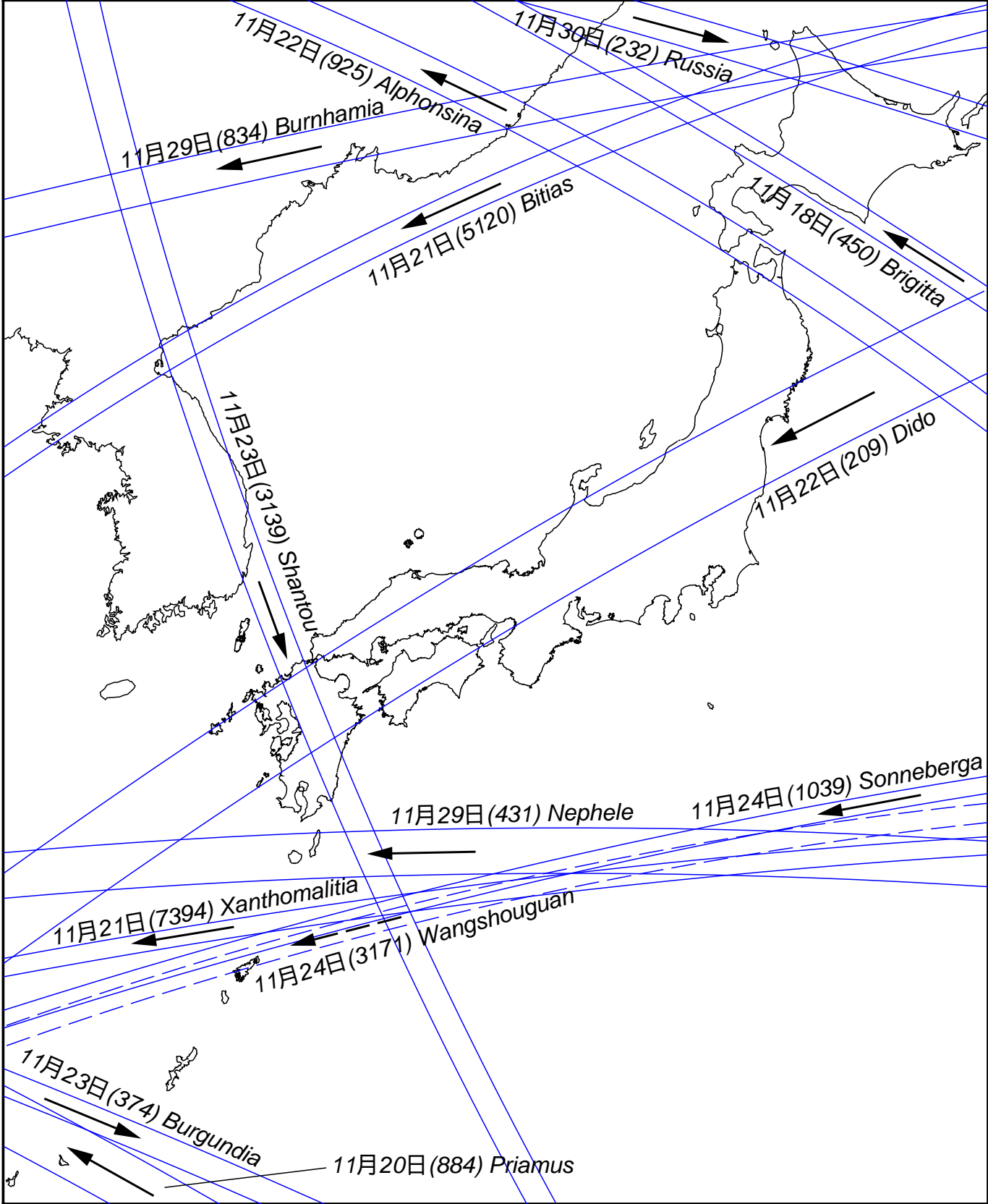


図10 小惑星による主な掩蔽帯経路 (S.Preston予報ほか) 2025年11月後半
 矢印は影の移動方向を示す